

Anexo III

ASPECTOS GERAIS SOBRE ONDAS ELETROMAGNÉTICAS¹

III.1 - VELOCIDADE DAS ONDAS ELETROMAGNÉTICAS

A figura 1 abaixo representa uma região perto de uma das extremidades de uma longa linha de transmissão, composta de dois fios de resistência nula, no espaço vazio (vácuo). No instante $t = 0$ fecha-se a chave S . A linha é então carregada da esquerda para a direita (com carga positiva no fio superior e carga negativa no fio inferior) numa velocidade constante u .

Num instante t , após a fonte ter sido ligada, a distância (comprimento) ut da linha terá sido carregada. Observem que à esquerda do plano limite que identifica a propagação da perturbação, existe uma corrente I dirigida para a direita no fio superior e para a esquerda no fio inferior.

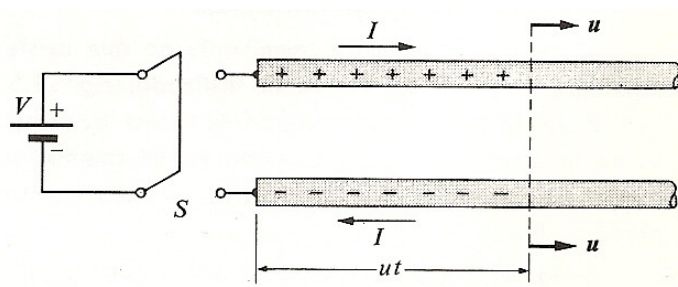


Figura 1 – Energização de uma linha de transmissão de dois fios de resistência nula no vácuo

Os campos elétricos e magnéticos formados num plano transversal a linha de transmissão estão ilustrados na figura 2.

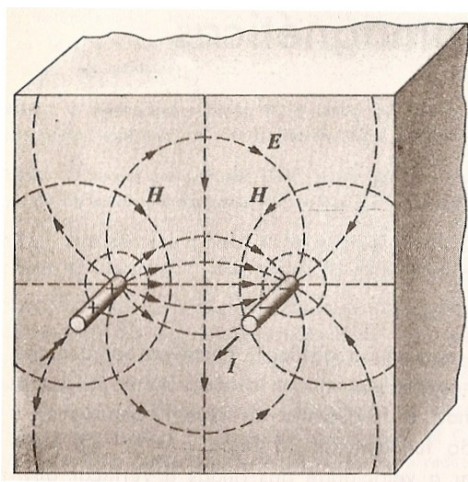


Figura 2 – Campos elétricos e magnéticos da linha de transmissão de dois fios da figura 1

O problema simplifica geometricamente se, em lugar de uma linha de dois fios, considerarmos uma linha constituída de duas placas condutoras planas e paralelas, conforme a figura 3. Observem novamente os campos elétricos e magnéticos formados.

Considerando que as duas placas planas possuem dimensões infinitas quando comparadas com a distância entre elas, os campos elétricos (\mathbf{E}) e magnéticos (\mathbf{H}) são uniformes e perpendiculares e ficam contidos na região interna às duas placas, como mostrado na figura 4.

¹ Material extraído e adaptado da referência [16].

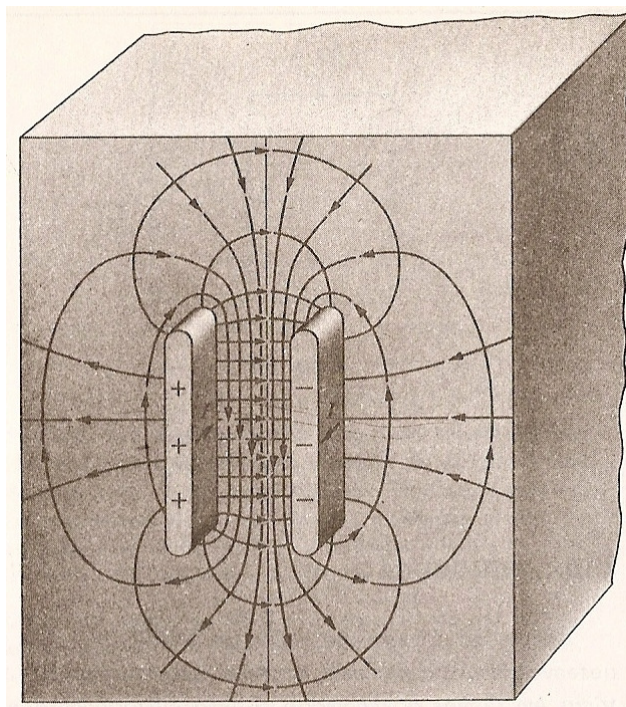


Figura 3 – Vista frontal de uma linha constituída por duas placas planas paralelas

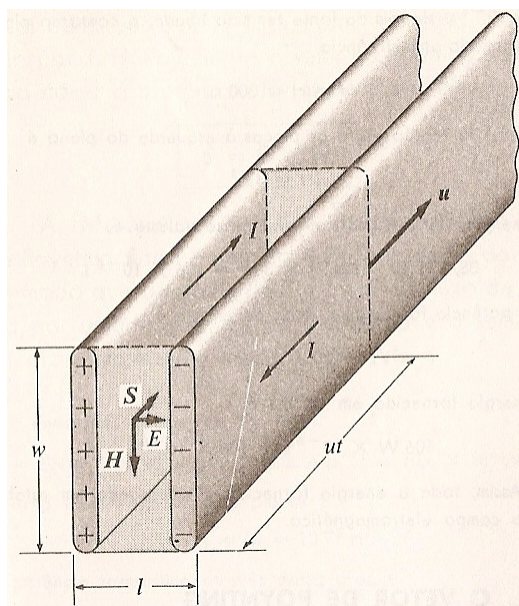


Figura 4 – Campos **E** (elétrico), **H** (magnético) e **S** (vetor de Poynting) para a linha da figura 3

O fluxo elétrico que sai da placa da esquerda (positiva) é expresso por:

$$\Psi = +Q = D S_{\Psi} = (\epsilon_0 E)(wut) \quad (01)$$

Derivando em relação ao tempo, obtém-se a corrente +I da placa da esquerda:

$$\frac{d\Psi}{dt} = \frac{dQ}{dt} = \epsilon_0 Ewu = I \quad (02)$$

Mas, pela aplicação da lei circuital de Ampère em torno da placa positiva, obtém-se também I:

$$Hw = I \quad (03)$$

Da igualdade entre (01) e (02) chega-se a:

$$H = \epsilon_0 Eu \quad (04)$$



O fluxo magnético entre as duas placas é expresso por:

$$\Phi = B S_{\Phi} = (\mu_0 H)(\ell u t) \quad (05)$$

Derivando em relação ao tempo, obtém-se a diferença de potencial V entre as placas:

$$\frac{d\Phi}{dt} = \mu_0 H \ell u = V \quad (06)$$

Mas, pela aplicação da definição de diferença de potencial, obtém-se:

$$E \ell = V \quad (07)$$

Da igualdade entre (06) e (07) chega-se a:

$$E = \mu_0 H u \quad (08)$$

Multiplicando (04) por (08) e cancelando o produto EH , chega-se a expressão da velocidade u :

$$u = \frac{1}{\sqrt{\mu_0 \epsilon_0}} \quad [\text{m/s}] \quad (09)$$

Substituindo os valores dos parâmetros magnético e elétrico, no vácuo, chega-se a **velocidade de propagação da onda eletromagnética no vácuo** que é idêntica à velocidade da luz.

$$u = \frac{1}{\sqrt{(4\pi \times 10^{-7})(8,854 \times 10^{-12})}} = 2,998 \times 10^8 = c \quad [\text{m/s}]$$

Dividindo (08) por (04) e organizando os termos, chega-se a **impedância característica do vácuo**:

$$\frac{E}{H} = \sqrt{\frac{\mu_0}{\epsilon_0}} = Z_0 \quad [\Omega] \quad (10)$$

Substituindo os valores dos parâmetros magnético e elétrico, no vácuo, chega-se ao valor da impedância característica do vácuo.

$$Z_0 = \sqrt{\frac{4\pi \times 10^{-7}}{8,854 \times 10^{-12}}} = 377 \approx 120\pi \quad [\Omega]$$

A **impedância característica da linha** pode ser calculada dividindo as expressões (07) e (03) para a diferença de potencial e a corrente, respectivamente, da seguinte maneira:

$$Z = \frac{V}{I} = \frac{\ell}{w} \frac{E}{H} = \frac{\ell}{w} Z_0 \quad (11)$$

Nota: Se considerarmos a largura e também a distância entre as placas de 1 m, então $Z = Z_0$.

III.2- O VETOR DE POYNTING

A potência fornecida a linha da figura 4 é expressa por:

$$P = VI = (E \ell)(H w) = (EH)(\ell w) = (EH)(A) \quad [\text{W}] \quad (12)$$

onde A representa a área transversal do campo eletromagnético entre as placas. Assim, a densidade de potência é expressa por

$$\frac{P}{A} = EH \quad [\text{W/m}^2] \quad (13)$$

J. H. Poynting sugeriu que o fluxo de energia através de qualquer seção transversal do campo, por unidade de área e de tempo, pode ser obtido através do produto vetorial do campo elétrico pelo campo magnético, sendo que o sentido do vetor resultante representa o sentido de propagação da onda eletromagnética.

$$\vec{S} = \vec{E} \times \vec{H} \quad [\text{W/m}^2] \quad |\vec{S}| = EH = P/A = \text{densidade de potência} [\text{W/m}^2] \quad (14)$$

III.3- PROPAGAÇÃO DE UMA ONDA NUMA LINHA DE TRANSMISSÃO

Suponha que a chave S da figura 1 seja substituída por uma chave inversora, como da figura 5, e que depois da linha ter sido ligada à fonte durante um certo intervalo de tempo (T), a chave seja invertida instantaneamente. A região dos campos elétricos e magnéticos que foi estabelecida inicialmente continua a se propagar para a direita e se estabelece uma segunda região atrás da primeira, na qual os campos são opostos. Essa região também se propaga para a direita com velocidade da luz (c).

Se a chave for invertida periodicamente, em iguais intervalos de tempo (T), uma sucessão de regiões, uma atrás da outra, cada uma das quais com comprimento cT, propagar-se-á ao longo da linha, como na figura 5. Temos assim uma onda quadrada se propagando.

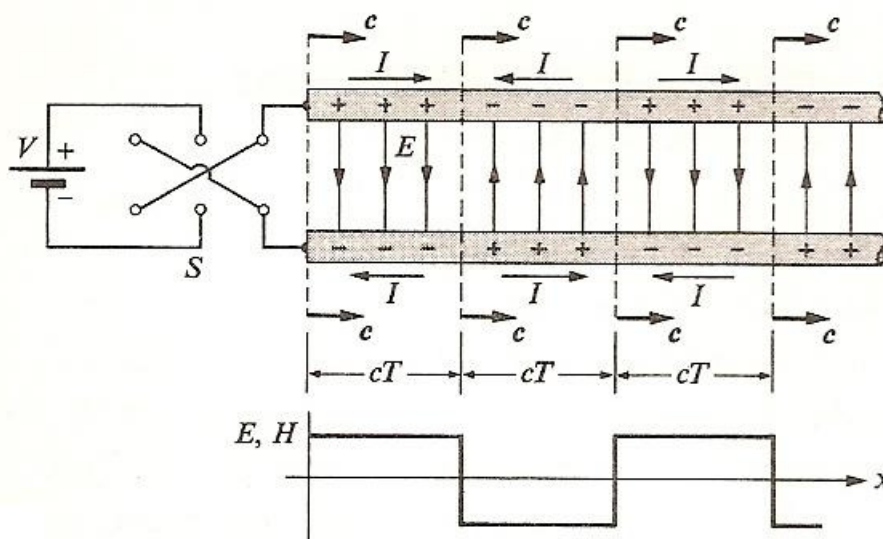


Figura 5 – Propagação de uma onda eletromagnética quadrada ao longo da linha de dois fios

Se a fonte e a chave forem substituídas por uma fonte CA senoidal, como na figura 6, a tensão através da linha será invertida automaticamente e continuamente. Os campos E e H são perpendiculares à direção de propagação e a onda é transversal.

A frequência (f), o comprimento de onda (λ) e a velocidade de propagação da onda (c) são relacionados pela seguinte equação:

$$\lambda = \frac{c}{f} \quad [\text{m}] \quad (15)$$

Nota: Se $f = 60 \text{ Hz}$, então o comprimento de onda será dado aproximadamente por:

$$\lambda = \frac{c}{f} = \frac{3 \times 10^8}{60} = 5 \times 10^6 \quad [\text{m}] = 5.000 \quad [\text{km}]$$

Este valor é da ordem do raio médio da Terra (6.371 km)

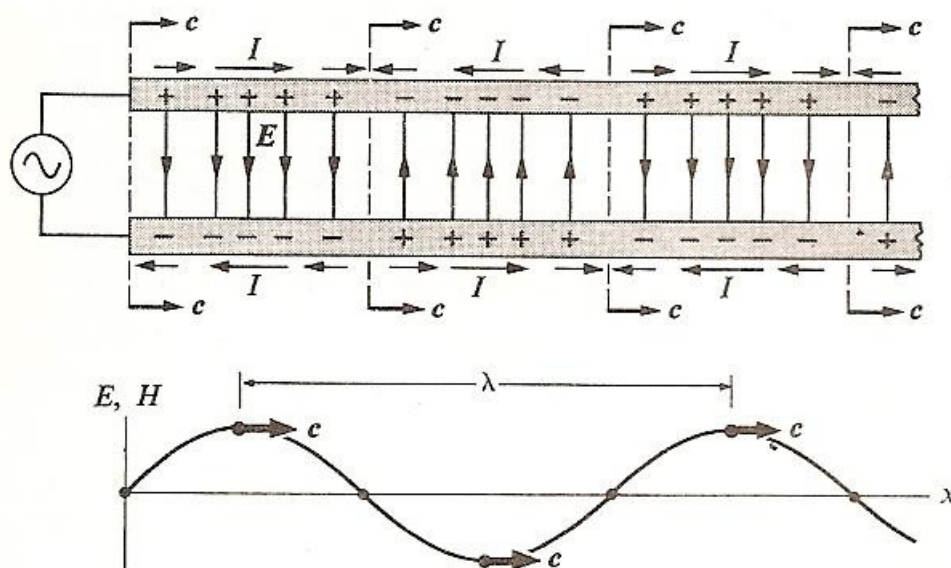


Figura 6 – Propagação de uma onda eletromagnética senoidal ao longo da linha de dois fios

A figura 7 representa esquematicamente os vetores \mathbf{E} e \mathbf{H} em um plano perpendicular à direção de propagação indicado pelo vetor de Poynting \mathbf{S} .

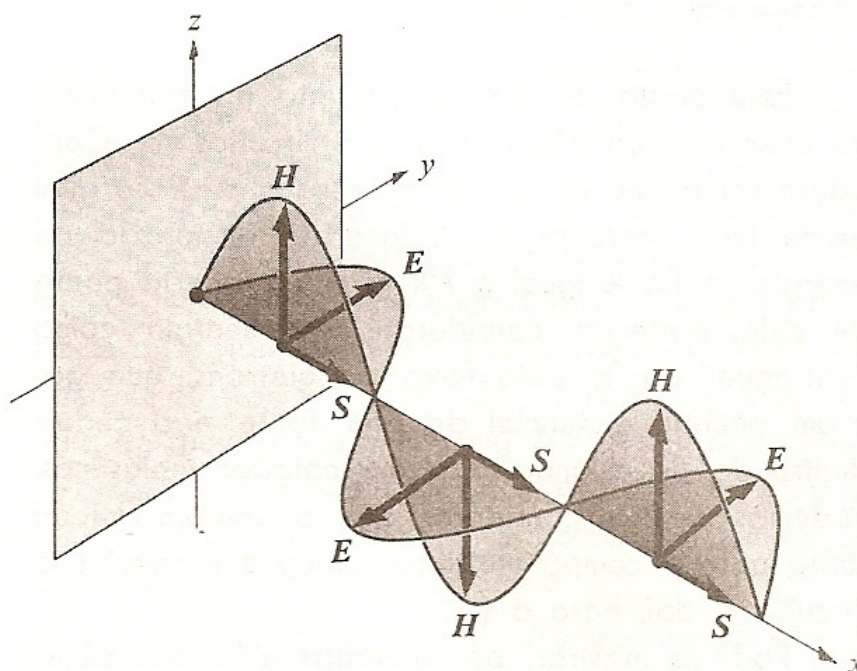


Figura 7 – Vetores \mathbf{E} , \mathbf{H} e \mathbf{S} de uma onda senoidal propagando no sentido **positivo** do eixo x

As equações da propagação da onda eletromagnética da figura 6 são expressas por

$$e = -E \sin(\omega t - kx) \quad [\text{V/m}] \quad (16a)$$

$$h = -H \sin(\omega t - kx) \quad [\text{A/m}] \quad (16b)$$

sendo: e e h os valores instantâneos, E e H os valores máximos, ω a frequência angular ($\omega = 2\pi f = 2\pi/T$ em rad/s) e k a constante de propagação ($k = 2\pi/\lambda$ em rad/m).

O valor instantâneo do vetor de Poynting (s) é:

$$s = eh = EH \sin^2(\omega t - kx) = \frac{1}{2} EH [1 - \cos 2(\omega t - kx)] \quad [\text{W/m}^2] \quad (17)$$

O valor médio no tempo (S_{med}) do vetor de Poynting (ou a potência média transmitida por unidade de área) é:

$$S_{\text{med}} = \frac{1}{2} EH \quad [\text{W/m}^2] \quad (18)$$

III.4-ONDAS ESTACIONÁRIAS NUMA LINHA DE TRANSMISSÃO

Suponha que a linha da figura 6 não se estenda indefinidamente para a direita, mas tenha um comprimento finito. As ondas propagando-se para a direita podem ser **refletidas** ou **absorvidas** na extremidade, dependendo de como a linha termina.

Se a linha terminar em **circuito aberto** ou em **curto-circuito**, as ondas serão **refletidas** quase que completamente.

Se as extremidades da linha forem ligadas por um **resistor igual a impedância característica da linha**, as ondas serão **completamente absorvidas**.

A figura 8 mostra esquematicamente os campos elétricos e magnéticos de uma onda propagando-se no sentido negativo do eixo dos x . As equações desta onda são:

$$e = E \sin(\omega t + kx) \quad [\text{V/m}] \quad (19a)$$

$$h = -H \sin(\omega t + kx) \quad [\text{A/m}] \quad (19b)$$

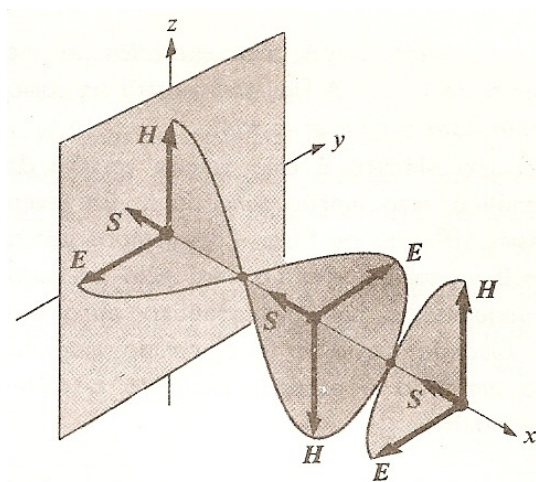


Figura 8 – Vetores **E**, **H** e **S** de uma onda senoidal propagando no sentido **negativo** do eixo x

Suponha agora que temos uma onda **incidente** propagando-se para a direita, e também uma onda **refletida**, de mesma amplitude, propagando-se para a esquerda.

Vamos utilizar os índices 1 e 2 para referir às ondas incidente e refletida, respectivamente, utilizando também o princípio da superposição. Assim, tomando as equações (16) e (19), pode-se obter os campos resultantes. Estes são:

$$e = e_1 + e_2 = 2E \cos \omega t \sin kx \quad [\text{V/m}] \quad (20a)$$

$$h = h_1 + h_2 = -2H \sin \omega t \cos kx \quad [\text{A/m}] \quad (20b)$$

O campo elétrico é **nulo**, em todos os instantes, nos planos para os quais:

$$\text{sen} kx = 0 \Rightarrow x = 0, \frac{\lambda}{2}, 2\frac{\lambda}{2}, 3\frac{\lambda}{2}, \dots \quad \text{Estes definem os planos **nodais** do campo **E**.$$

O campo magnético é **nulo**, em todos os instantes, nos planos para os quais:

$$\cos kx = 0 \Rightarrow x = \frac{\lambda}{4}, 3\frac{\lambda}{4}, 5\frac{\lambda}{4}, \dots \quad \text{Estes definem os planos **nodais** do campo **H**.$$

A figura 9 mostra os campos para um instante no qual $\omega t = \pi/4$. Neste caso teremos:

$$e = \sqrt{2}E \text{ sen} kx$$

$$h = -\sqrt{2}H \cos kx$$

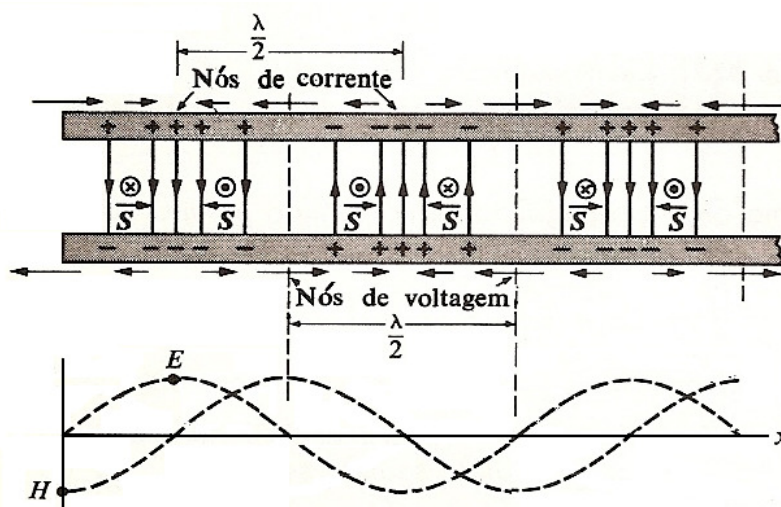


Figura 9 – Ondas estacionárias em uma linha de transmissão a dois fios ($\omega t = \pi/4$)

A partir da figura 9 observa-se o seguinte:

- O campo elétrico é uma função do cosseno de t e o campo magnético uma função do seno de t . Logo, estes campos **E** e **H** estarão **90° fora de fase** (ou defasados);
- Para tempos tais que **$\cos \omega t = 0$** , então **$E = 0$** em todo espaço, enquanto que o campo magnético atingirá seu valor máximo no tempo;
- Por outro lado, para tempos tais que **$\sin \omega t = 0$** , então **$H = 0$** em todo espaço, enquanto que o campo elétrico atingirá seu valor máximo no tempo;
- A diferença de potencial entre as placas, em qualquer plano, é proporcional ao campo **E** nesse plano. Daí, os planos nodais do campo **E** são também **nós de tensão** (onde a ddp se anula);
- A corrente, em qualquer plano, é proporcional ao campo **H** desse plano. Daí, os planos nodais do campo **H** são também **nós de corrente** (onde a corrente se anula);
- Os nós de corrente situam-se entre os nós de tensão sendo a distância entre eles igual a $\lambda/4$.



A figura 10 mostra os vetores \mathbf{E} , \mathbf{H} e \mathbf{S} para um cabo coaxial, com resistência nula, no vácuo.

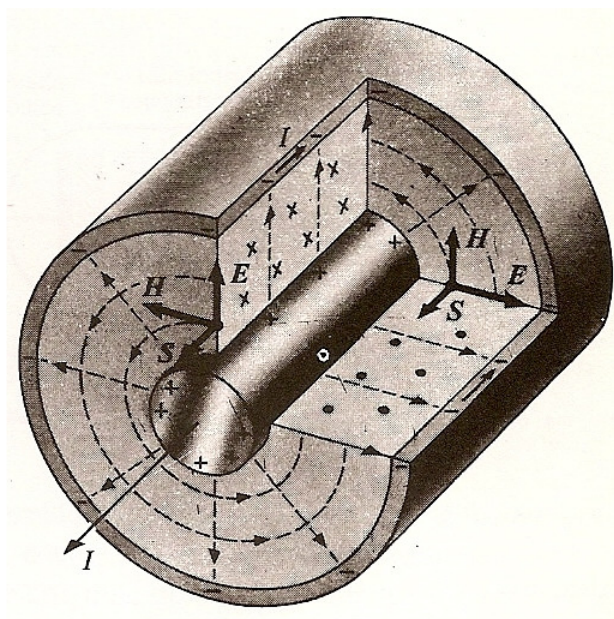


Figura 10 – Visualização dos vetores \mathbf{E} , \mathbf{H} e \mathbf{S} entre os condutores de um cabo coaxial